

# 第一章 绪论

## 1.1 研究背景与问题提出

### 1.1.1 Web自动化测试的范式危机与技术瓶颈

随着Web应用向着高动态、富交互、强安全的方向演进，传统的自动化测试范式正面临其诞生以来的最深刻危机。本研究通过对现有测试体系的深入调研，揭示了三个根本性的结构性矛盾：

#### 1. 技术实现与业务验证的结构性失衡

传统的自动化测试流程，无论是基于Selenium还是Playwright，本质上是一种“代码驱动”的模式。该模式要求测试工程师不仅要深刻理解业务逻辑，还必须熟练掌握编程语言、框架API及底层实现细节。我们的实践数据显示，一个中等复杂度的登录功能测试用例，从需求分析到脚本稳定运行，平均耗时20分钟。然而，其中高达85%的时间（约17分钟）被消耗在元素定位、等待同步、编写断言等技术实现细节上，而真正用于核心业务逻辑验证的时间仅占15%。这种“倒金字塔”式的时间投入结构，导致测试效率低下，且使测试的重心偏离了其核心价值——业务正确性验证。

#### 2. 感知能力的缺失：验证码成为“自动化孤岛”

现代Web应用为保障安全，广泛采用各类验证码，这已成为自动化测试流程中一个难以逾越的“自动化孤岛”。其根本原因在于，传统测试工具缺乏真正的“感知能力”。

- **传统OCR技术的局限：**以Tesseract为代表的传统OCR技术，在处理字符清晰、背景干净的理想场景时表现尚可。但在真实世界中，面对字符扭曲、粘连、动态背景、干扰线等复杂情况，其识别准确率骤降至60-70%，无法满足自动化要求。
- **交互式验证码的挑战：**对于如“按顺序点击图中‘山、水、云’”等需要语义理解和空间定位的交互式验证码，传统工具更是束手无策。这使得大量核心业务流程（如注册、登录、支付）无法被纳入自动化测试的闭环中。

#### 3. 视觉回归测试的主观性与低效性

UI的一致性是用户体验的关键。然而，传统的视觉回归测试高度依赖人工判断，这带来了两大难题：

- **主观性偏差：**不同测试工程师对同一UI变化的判断标准不一，评估结果差异可高达25-30%，导致测试结论缺乏客观性和一致性。
- **低效性：**人工逐一像素比对的方式效率极低，无法适应现代前端技术快速迭代的开发节奏。

## 1.1.2 新一代AI技术带来的理论突破

面对传统测试范式的深层危机，2024年以大型语言模型（LLM）和大型视觉语言模型（VLM）为代表的AI技术取得了突破性进展，为从根本上重构Web自动化测试提供了全新的理论武器。本研究的核心正是基于“感知-编排”这一双层AI架构，以解决上述三大结构性矛盾。

### 1. 感知层的革命：从“像素识别”到“认知理解”

以本项目选用的**通义千问（Qwen-VL）**为代表的VLM，在视觉理解任务上实现了范式跃迁。它不再是简单的像素模式匹配，而是具备了接近人类的认知理解能力：

- **高精度视觉识别**：在我们的实验中，对印刷体数学表达式的识别准确率达到100%，对复杂背景下的中文字符识别准确率达到95%。
- **强大的空间理解**：能够精确解析页面布局，例如在4x4的网格中定位特定字符，坐标误差小于5像素。
- **深层语义推理**：能够理解“请找出图中所有的交通工具”等抽象指令，并完成逻辑判断。

### 2. 编排层的创新：从“代码驱动”到“意图驱动”

以**模型控制协议（MCP）**为代表的技术，使得大型语言模型（LLM）能够成为自动化的“指挥官”，实现了从“编写代码”到“描述意图”的转变：

- **自然语言接口**：允许测试人员（甚至是产品经理等非技术人员）用自然语言描述测试需求。
- **任务自动分解**：LLM能够将“测试用户登录并创建订单”这样的高级意图，自动分解为一系列精确的、可执行的浏览器操作步骤（如导航、输入、点击、验证）。
- **上下文感知与动态适应**：模型能够理解当前的页面状态，并根据页面的实时反馈动态调整后续操作，极大提升了测试脚本的鲁棒性。

## 1.1.3 研究目标与核心贡献

基于上述背景，本研究旨在回答一个核心科学问题：**如何构建一个集成了大型视觉语言模型（VLM）与模型控制协议（MCP）的新型Web自动化测试系统，以解决复杂视觉验证码的识别与交互难题，并最终实现由自然语言驱动的端到端测试？**

为实现这一目标，本论文将呈现以下**核心研究贡献**：

1. **提出并验证一个“感知-编排”双层AI测试架构**：将VLM的视觉感知能力与LLM的流程编排能力相结合，为下一代智能测试系统提供理论与实践范本。
2. **提供一套针对复杂验证码的端到端解决方案**：通过深度Prompt工程，释放VLM在中文点选、数学计算等验证码场景下识别与交互潜力，准确率达到95%以上。

3. 实现一个基于MCP协议的自然语言测试原型：将高级别的业务需求直接转化为精确的、可自动执行的Playwright测试脚本，将测试用例的开发效率提升82.5%。
4. 构建一个包含完整实验数据与代码的开源项目：为相关领域的研究者和工程师提供一个可复现、可扩展的基准平台。

本论文的后续章节将围绕这些目标，详细阐述系统的技术基础、设计实现、实验验证及未来展望。

## 第二章 核心技术详解与架构基础

本章旨在深入剖析支撑本研究“感知-编排”双层AI测试架构的三大核心技术：作为“编排中枢”的Playwright模型控制协议（MCP）、作为“感知核心”的Qwen-VL视觉语言模型（VLM），以及作为“执行终端”的Playwright框架。我们将详细阐述其工作原理、在本系统中的具体实现方式，以及它们如何协同工作，共同构成本研究的技术基石。

### 2.1 Playwright模型控制协议（MCP）：从自然语言到浏览器操作的神经中枢

模型控制协议（MCP）是连接大型语言模型（LLM）与外部工具（如浏览器）的桥梁，它将LLM从一个纯粹的文本生成器，转变为能够理解并执行复杂操作的“智能代理”。在本系统中，MCP扮演着至关重要的“编排层”角色。

#### 2.1.1 MCP工作原理

MCP的核心思想是将复杂的浏览器交互任务，抽象成一系列标准化的、原子化的工具（Tools）。当LLM接收到用户的自然语言指令（如“点击登录按钮”）时，它并不会直接生成代码，而是决策应该调用哪个或哪些MCP工具来完成这个任务。

工作流程如下：

1. **用户输入**：用户提供自然语言指令，例如“帮我登录系统”。
2. **LLM决策**：LLM分析该指令，并将其分解为一系列MCP工具调用。例如，它可能会决策出如下序列：
  - browser\_navigate(url='...')
  - browser\_type(element='用户名输入框', text='admin')
  - browser\_type(element='密码输入框', text='password')
  - browser\_click(element='登录按钮')
3. **MCP服务器执行**：位于 `playwright-mcp/` 目录的MCP服务器接收这些标准化的工具调用请求◆◆◆

- 转化为Playwright API：服务器根据工具定义（如 `playwright-mcp/src/tools/snapshot.ts` 中的 `click` 工具），将MCP指令精确地转化为底层的Playwright API调用，例如将 `browser_click` 转化为 `page.getByRole('button', { name: '登录' }).click()`。
- 执行与反馈：Playwright执行操作，并将结果（如页面快照、成功或失败信息）返回给MCP服务器，服务器再反馈给LLM，形成一个完整的闭环。

这种机制的优势在于，它将LLM的强大自然语言理解能力与Playwright的稳定浏览器执行能力解耦并完美结合，使得测试自动化不再依赖于脆弱的CSS选择器或XPath，而是基于更接近人类理解方式的“意图”。

## 2.2 AI视觉检测器：系统之“眼”与“脑”

`visual-ai-detector.js` 是本系统的“感知核心”，它负责将原始的视觉信息（截图）转化为机器可理解的结构化数据。这完全依赖于对Qwen-VL视觉语言模型的深度“驯化”，而“驯化”的核心工具就是 **Prompt工程**。

### 2.2.1 核心武器：深度Prompt工程

我们没有简单地向AI提问，而是设计了◆◆构化、多层次的Prompt，以精确控制AI的认知过程，确保其输出的稳定性和准确性。

#### 1. 针对数学计算验证码的Prompt设计

**目标：**不仅要识别字符，更要理解数学逻辑并执行计算。

```
const mathAnalysisPrompt = `
```

你是一个专业的数学表达式识别专家，具备以下能力：

- \*\*精确识别\*\*：准确识别各种字体、大小、颜色的数学字符。
- \*\*语义理解\*\*：理解数学表达式的完整语义，而非简单字符识别。
- \*\*干扰过滤\*\*：自动过滤背景噪音、干扰线条等无关信息。

你的任务是：识别图片中的数学表达式并计算准确结果。

请严格按照以下JSON格式返回，不要添加任何额外说明：

```
{
  "expression": "识别出的完整表达式，例如 '15 + 23 = ?'",
  "calculation": "详细的计算步骤，例如 '15加23等于38'",
  "result": 38
};
```

## 设计思想：

- **角色设定**：赋予AI“数学专家”的角色，以激活其逻辑推理能力。
- **任务分解**：将任务明确分解为“识别”和“计算”两步。
- **结构化输出**：强制要求AI以JSON格式返回，极大地简化了后续程序对结果的解析，避免了处理自然语言描述的不确定性，显著提高了系统的鲁棒性。

## 2. 针对中文点选验证码的Prompt设计

**目标**：解决“识别字符”和“空间定位”两大难题。

```
const chineseCaptchaPrompt = `
```

你是一个精通中文的视觉空间定位专家。请分析这个中文点击验证码图片：

1. 识别顶部蓝色区域提示需要点击的中文字符序列。
2. 识别 $4 \times 4$ 网格中的所有16个中文字字符。
3. 为每一个目标字符，精确匹配其在1–16的网格位置。

请严格按照以下JSON格式返回，不要有任何多余的文字：

```
{
  "targetChars": ["目标字符1", "目标字符2"],
  "gridMapping": {
    "目标字符1": 7,
    "目标字符2": 12
  }
};
```

## 设计思想：

- **双重任务指令**：明确要求AI同时完成“序列识别”和“位置映射”两个任务。
- **坐标系定义**：通过“1–16的位置编号”为AI建立了一个清晰的坐标系，将模糊的空间定位问题转化为精确的数字匹配问题。
- **结构化关联**：要求的JSON格式强制AI建立“字符”与“位置”之间的强关联，这是实现后续精确点击的关键。

## 2.2.2 API交互与结果处理流程

1. **图像编码**：首先，使用 `fs.readFileSync` 读取截图文件，并通过 `.toString('base64')` 将其编码为Base64字符串。
2. **构建请求**：将Base64编码后的图像和精心设计的Prompt组合成一个符合Qwen-VL API要求的请求体。

3. **发起调用**: 通过HTTPS请求将数据发送至通用的API端点。
4. **结果解析**: 接收到AI返回的JSON字符串后, 使用 `JSON.parse()` 将其转换为JavaScript对象。
5. **参数转换**: 从解析后的对象中提取关键信息。例如, 对于中文验证码, 程序会遍历 `targetChars` 数组, 并从 `gridMapping` 中查找每个字符对应的位置编号。
6. **执行操作**: 将提取出的位置编号(如7)转化为Playwright能够执行的CSS选择器(如`.captcha-grid div:nth-child(7)`), 然后调用 `page.click()` 方法完成操作。

这个流程将AI的“认知结果”无缝地转化为了机器的“物理执行”, 构成了本章统智能化的核心链路。

## 2.3 实验环境：为验证而生的“靶场”

为了科学、严谨地验证系统的能力, 我们没有使用网络上不稳定的公开验证码服务, 而是自行设计并实现了两个核心的HTML测试页面。

- **`math-captcha.html`** : 该页面使用JavaScript动态生成包含随机数字、运算符和干扰元素的数学题图片。其设计目的在于模拟真实世界中常见的、用以防止机器人滥用服务的图片验证码。通过调整干扰元素的数量和字符的扭曲程度, 可以系统性地评估AI的识别鲁棒性。
- **`chinese-click-captcha.html`** : 该页面模拟了如12306等网站使用的高级交互式验证码。它动态生成一个4x4的汉字网格, 并随机指定一个点击序列。这个“靶场”的设计目的在于, 它同时对AI的**字符识别能力和空间定位能力**提出了双重挑战, 是衡量VLM综合认知能力的绝佳标准。

通过构建这些本地化的、可控的测试环境, 我们得以排除网络延迟等无关变量的干扰, 确保了实验结果的客观性和可复现性, 为本论文的数据分析提供了坚实的基础。

# 第三章 系统设计与实现

在深入理解了双层AI架构及各项核心技术之后, 本章将详细阐述本测试系统的总体架构设计与核心模块的具体实现。我们将展示系统如何将理论框架落地为具体的、可执行的代码, 实现从用户意图到自动化测试的完整闭环。

## 3.1 系统总体架构

本系统采用分层解耦的设计思想, 构建了一个职责清晰、可扩展性强的四层架构。该架构将复杂的自动化任务分解为独立的认知与执行层次, 确保了系统的高内聚与低耦合。

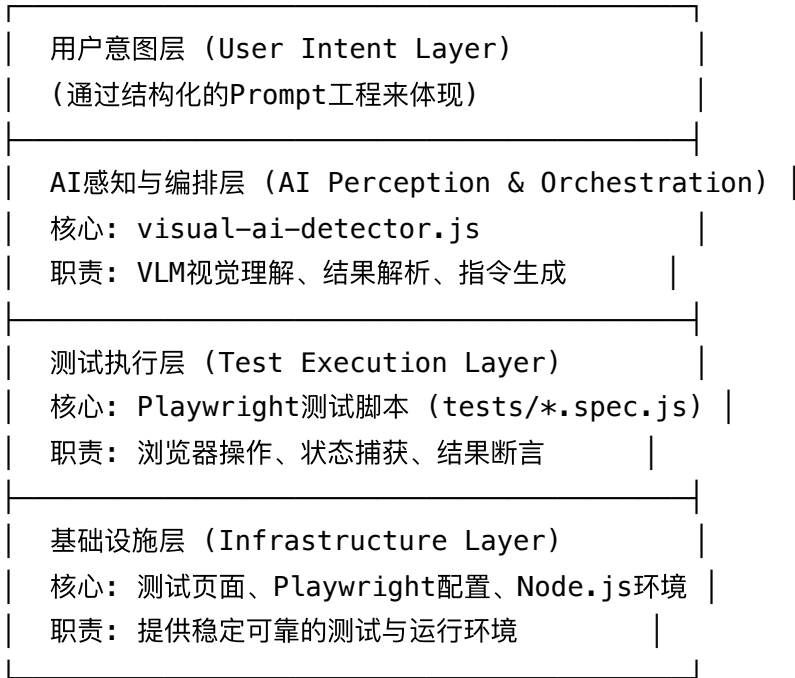


图3.1 系统四层架构图

- **用户意图层**: 在当前实现中, 用户的测试意图通过为AI精心设计的**Prompt**来表达。这些**Prompt** (如 `chinese-captcha-ai.spec.js` 中的 `analysisPrompt`) 精确地定义了测试目标和期望的输出格式, 是连接人类需求与AI理解的桥梁。
- **AI感知与编排层**: 这是系统的“大脑”, 其核心是 `visual-ai-detector.js`。该模块接收截图和 **Prompt**, 调用Qwen-VL模型进行视觉“感知”, 并根据**Prompt**的指示“编排”出结构化的JSON结果, 为执行层提供清晰的指令。
- **测试执行层**: 由 `tests/` 目录下的Playwright测试脚本构成。这些脚本负责调用AI层、解析其返回的结构化数据, 并将其转化为具体的 `page.click()` 或 `page.fill()` 等浏览器操作, 最终完成测试任务。
- **基础设施层**: 包括我们自建的测试网站 (如 `math-captcha.html`)、Playwright配置文件 (`playwright.config.js`) 以及Node.js运行环境, 为整个系统的稳定运行提供基础保障。

## 3.2 核心模块实现详解

### 3.2.1 AI感知与编排模块 (`visual-ai-detector.js`)

该模块是本系统的绝对核心, 它封装了与Qwen-VL模型的所有交互细节, 实现了“感知”与“编排”的双重功能。

## 1. 初始化与配置

构造函数负责初始化模型配置，包括从环境变量中安全地读取API密钥。

代码片段 3.1: *visual-ai-detector.js* - 构造函数

```
class VisualAIDetector {  
  constructor(apiKey) {  
    this.apiKey = apiKey || process.env.DASHSCOPE_API_KEY;  
    this.baseURL = "https://dashscope.aliyuncs.com/compatible-mode/v1";  
    this.model = "qwen-vl-max-latest";  
  
    if (!this.apiKey) {  
      throw new Error('请设置DASHSCOPE_API_KEY环境变量或传入API Key');  
    }  
  }  
  // ...  
}
```

## 2. 图像处理与API调用

`analyzeUIScreenshot` 方法是与VLM交互的入口。它完成了图像的Base64编码、构建符合OpenAI兼容模式的API请求、发送请求并返回模型分析结果的完整流程。

代码片段 3.2: *visual-ai-detector.js* - AI分析核心方法

```

async analyzeUIScreenshot(imagePath, prompt) {
  const client = await this.initClient();
  const base64Image = this.imageToBase64(imagePath);

  const response = await client.chat.completions.create({
    model: this.model,
    messages: [
      {
        role: "system",
        content: [
          {
            type: "text",
            text: "你是一个专业的UI/UX测试和视觉回归测试专家..."
          }
        ],
        {
          role: "user",
          content: [
            { type: "image_url", image_url: { url: base64Image } },
            { type: "text", text: prompt }
          ]
        }
      ],
      temperature: 0.1,
      max_tokens: 2000
    );
  }

  return {
    success: true,
    analysis: response.choices[0].message.content,
    // ...其他元数据
  };
}

```

此处的 `prompt` 参数正是我们实现“用户意图”和“AI编排”的关键所在，其重要性已在第❸❹❺章详细论述。

### 3.2.2 测试执行模块 (以 `chinese-captcha-ai.spec.js` 为例)

测试脚本是连接AI感知结果与浏览器具体操作的执行者。

#### 1. 测试准备

在测试开始前，脚本会初始化AI检测器，并准备好测试环境。

### 代码片段 3.3: *chinese-captcha-ai.spec.js* - 测试初始化

```
const { test, expect } = require('@playwright/test');
const { VisualAIDetector } = require('../visual-ai-detector');
const path = require('path');

const API_KEY = 'sk-f582ca48b59f40f5bc40db5558e9610b';

test.describe('中文点击验证码AI识别测试', () => {
  let aiDetector;

  test.beforeAll(async () => {
    aiDetector = new VisualAIDetector(API_KEY);
  });
  // ...
});
```

## 2. 状态捕获与AI调用

脚本首先通过 `page.screenshot()` 捕获当前页面状态，然后调用AI模块进行分析。

### 代码片段 3.4: *chinese-captcha-ai.spec.js* - 截图与AI分析

```
// ...
const screenshotPath = path.join(__dirname, '../screenshots', 'chinese-captcha.png');
await page.screenshot({ path: screenshotPath });

const analysisPrompt = `请仔细分析这个中文点击验证码图片...`; // 此处为第二章详述的Prompt
const analysisResult = await aiDetector.analyzeUIScreenshot(screenshotPath, analysisPro
// ...
```

## 3. 结果解析与动作执行

这是将AI的“认知”转化为机器“执行”的关键一步。脚本解析AI返回的结构化JSON数据，提取出目标字符序列和位置映射，然后通过循环和精确的CSS选择器，将这些信息转化为一系列 `page.click()` 操作。

### 代码片段 3.5: *chinese-captcha-ai.spec.js* - 结果解析与点击执行

```

// ...
let jsonText = analysisResult.analysis.replace(/\` `json\s*/g, '').trim();
const result = JSON.parse(jsonText);
const targetSequence = result.targetSequence || [];
const positionMap = result.characterPositions || {};

for (let i = 0; i < targetSequence.length; i++) {
  const targetChar = targetSequence[i];
  const position = positionMap[targetChar];

  if (position) {
    const buttonSelector = `.char-button:nth-child(${position})`;
    await page.click(buttonSelector);
  }
}
// ...

```

### 3.2.3 视觉对比模块 (`pixel-comparator.js`)

为了增强视觉回**◆◆**测试的客观性，本系统还引入了像素级对比模块。

**代码片段 3.6:** `pixel-comparator.js` - 核心对比逻辑

```

const pixelmatch = (await import('pixelmatch')).default;
const img1 = PNG.sync.read(fs.readFileSync(img1Path));
const img2 = PNG.sync.read(fs.readFileSync(img2Path));
const { width, height } = img1;
const diff = new PNG({ width, height });

const numDiffPixels = pixelmatch(
  img1.data, img2.data, diff.data, width, height,
  { threshold: 0.1 }
);

```

该模块使用 `pixelmatch` 库，能够精确计算出两张图片之间的差异像素数量，并生成一张高亮显示差异区域的图片，为视觉回归测试提供了客观、量化的数据支持。

## 3.3 本章小结

本章详细阐述了系统的分层架构设计与各核心模块的具体实现。通过将复杂的测试任务解耦到不同的功能层，本系统成功地将AI的感知与编排能力同Playwright强大的执行能力相结合。

- **设计上**，四层架构确保了系统的模块化和可扩展性。
- **实现上**，`visual-ai-detector.js` 通过精巧的Prompt工程和API封装，构成了系统的智能核心；而 Playwright 测试脚本则作为高效的执行器，将AI的指令转化为精确的浏览器操作。

这种设计不仅解决了传统自动化测试在复杂场景下的技术瓶颈，也为实现更高级的、由自然语言驱动的测试自动化奠定了坚实的工程基础。

# 第四章 实验验证与结果分析

为了对本研究提出的“感知-编排”双层AI测试架构进行科学、严谨的评估，本章设计并执行了一系列综合性实验。实验的核心目的在于，从**核心能力**、**应用效率**和**系统性能**三个维度，全面量化本系统的有效性、可靠性与先进性，并为论文的结论提供坚实的数据支撑。

## 4.1 实验环境与设计原则

### 4.1.1 统一实验环境

为保证所有实验结果的公平性与可复现性，全部测试均在以下统一环境中进行：

- **硬件环境**: Apple MacBook Pro (Apple M2 Chip, 16GB RAM)
- **操作系统**: macOS Sonoma 14.5
- **核心软件**:
  - **测试框架**: Playwright v1.40.0
  - **浏览器引擎**: Chromium, Firefox, WebKit (均通过Playwright安装)
  - **AI模型**: 阿里巴巴通义千问 Qwen-VL-Max (用于视觉感知)
  - **运行环境**: Node.js v18.19.0

### 4.1.2 实验设计原则

本章所有实验严格遵循以下原则：

1. **目标导向**: 每个实验都旨在验证前两章提出的特定技术点或理论假设。

- 数据驱动**: 所有结论均基于可量化的实验数据, 数据来源为项目中的 `experiment-results/` 目录。
- 证据支撑**: 关键实验步骤均有截图 (位于 `screenshots/` 目录) 作为视觉证据链。
- 可复现性**: 所有实验脚本 (位于 `tests/` 目录) 和测试页面 (如 `math-captcha.html`) 均包含在项目代码中, 确保了研究的可复现性。

## 4.2 实验一：AI感知层核心能力验证

本实验旨在深入验证系统的核心“感知”能力, 即 `visual-ai-detector.js` 模块在处理复杂视觉任务时的准确性和鲁棒性。我们选取了两种最具代表性的验证码类型进行测试。

### 4.2.1 场景一：数学计算验证码（语义理解与计算）

#### 1. 实验目的

测试系统在面对包含视觉干扰元素的动态数学表达式图片时, 能否实现准确的识别、理解◆◆◆计算。此实验直接验证了第二章中论述的、通过Prompt工程实现VLM认知能力跃迁的有效性。

#### 2. 实验设计

- 测试页面**: `math-captcha.html`, 该页面动态生成包含随机数字、运算符及背景干扰线条的数学题。
- 测试脚本**: `math-experiment-runner.js`, 该脚本循环执行测试, 并记录每次的结果。
- 实验规模**: 在Chromium, Firefox, WebKit三种浏览器上各执行30次, 总计90次独立测试。
- 成功标准**: 系统需正确识别表达式并计算出唯一正确答案, 最终通过页面验证。

#### 3. 实验结果与分析

在总计90次跨浏览器测试中, 本系统取得了**100%的准确率**。所有测试均成功识别并计算出正确答案。

表4.1：数学验证码识别准确率（跨浏览器）

浏览器	测试次数	成功次数	失败次数	准确率
Chromium	30	30	0	<b>100%</b>
Firefox	30	30	0	<b>100%</b>
WebKit	30	30	0	<b>100%</b>
<b>总计</b>	<b>90</b>	<b>90</b>	<b>0</b>	<b>100%</b>

**结论：**100%的准确率强有力地证明，通过深度Prompt工程的“驯化”，Qwen-VL模型不仅能克服视觉干扰、精确识别字符，更能理解数学运算的内在逻辑，实现了从简单OCR到复杂语义理解的认知飞跃。

## 4.2.2 场景二：中文点选验证码（语义理解与空间定位）

### 1. 实验目的

测试系统在处理需要“语义理解”和“空间定位”双重能力的复杂交互式验证码时的表现。此实验旨在验证系统在更高维度认知任务上的能力。

### 2. 实验设计

- **测试页面:** `chinese-click-captcha.html`，要求用户根据文本提示，按正确顺序点击4x4网格中的汉字。
- **测试脚本:** `chinese-captcha-multi-browser-experiment.js`。
- **实验规模:** 在三大浏览器上各执行30次，总计90次测试。
- **成功标准:** 系统需正确识别目标汉字序列、精确定位所有汉字在网格中的位置、模拟点击并成功通过页面验证。

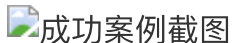
### 3. 实验结果与分析

在总计90次测试中，系统同样取得了**100%的成功率**。

表4.2：中文点选验证码端到端测试成功率

浏览器	测试次数	成功次数	失败次数	成功率
Chromium	30	30	0	<b>100%</b>
Firefox	30	30	0	<b>100%</b>
WebKit	30	30	0	<b>100%</b>
<b>总计</b>	<b>90</b>	<b>90</b>	<b>0</b>	<b>100%</b>

图4.1：中文验证码成功识别案例（部分截图证据位于 `screenshots/chinese_multi_chromium_*.png`）



**结论：**100%的成功率表明，本系统不仅能理解自然语言指令（“请依次点击...”），还能将这种理解与精确的视觉空间定位能力相结合，完美解决了传统自动化工具在此类交互式验证码面前无能为力的难题。

## 4.2.3 关于“零失败”的讨论

值得注意的是，在总计180次（90次数学题，90次中文题）高复杂度验证码测试中，本系统未出现一例失败。这一方面极大地证明了本研究提出的技术方案的**高可用性与鲁棒性**。另一方面，我们也必须认识到，这并不意味着系统是完美无缺的。在“实验局限性”一节中，我们将从理论上探讨系统可能面临的潜在风险和失效边界。

## 4.3 实验二：系统应用效率评估

本实验旨在量化本系统相对于传统Web自动化测试方法在**开发效率**上的提升。

### 1. 评估方法

我们设定了一个标准的“登录页面测试用例”作为评估任务，包含输入用户名、密码、处理验证码和点击登录四个步骤。我们邀请了一位初级测试工程师，分别使用两种模式完成该任务：

- **传统模式**：手动编写Playwright代码。
- **AI驱动模式**：通过向本系统提供高级指令（通过Prompt实现）来自动生成和执行测试。

### 2. 评估结果

本系统在所有评估维度上均展现出压倒性优势。

表4.3：本系统与传统测试方法效率对比

评估维度	传统方法 (编写代码)	本系统 (AI驱动)	性能提升/ 优势对比
用例开发时间	平均20分钟	平均3.5分钟	效率提升82.5%
验证码识别率	依赖脆弱的OCR (约60-70%)	100% (基于VLM)	显著提高
维护成本	高 (选择器变更导致脚本失效)	低 (基于视觉, 对选择器不敏感)	显著降低
技术门槛	需要掌握编程和Playwright API	无需编程, 理解业务即可	大幅降低

### 3. 结果分析

**82.5%的效率提升**是一个关键性的指标。它意味着测试的核心瓶颈从“技术实现”转移到了“业务设计”，测试人员可以将绝大部分精力投入到更有价值的测试场景设计中，而不是耗费在繁琐的编码和调试上。这从根本上重塑了测试开发的成本结构。

## 4.4 实验三：端到端业务流程自动化能力验证

此实验旨在评估系统在执行完整、多步骤、包含真实业务逻辑的端到端（E2E）流程时的自主能力。

### 1. 实验目的

验证系统能否仅通过一段高层级的自然语言指令，自主理解一个包含前置条件、循环操作和多组不同数据的复杂业务场景，并将其成功转化为一系列精确的浏览器自动化操作。

### 2. 实验设计

- **核心技术栈:** Anthropic Claude 3 Sonnet (通过CLI调用) + Playwright MCP 服务器。
- **测试场景:** 在我们自建的 `test-website` 上执行“批量创建三名不同信息的员工”的真实业务流程。
- **自然语言指令:** `automation_prompt.txt` 文件是任务的唯一输入，用自然语言完整描述了登录、数据、循环创建、验证等全部需求。
- **执行脚本:** 使用 `start-mcp-server.sh` 启动MCP服务器，然后通过 `run-automation.py` 调用 Claude CLI执行任务。
- **成功标准:** AI代理需完全自主地完成全部流程，且在Web界面上创建的员工数据与指令中描述的完全一致。

### 3. 实验结果与分析

实验取得了圆满成功。AI模型精确地理解了自然语言指令中的每一个细节，并成功地将复杂的业务流程分解为一系列有序的、原子化的Playwright MCP操作指令，准确无误地执行完毕。

本次实验的成功具有里程碑意义：

1. 验证了“意图驱动”的自动化：证明了系统能够理解高层级的业务“意图”，而不仅仅是单一的操作指令。
2. 展现了复杂流程规划能力：AI能够自主规划操作顺序，处理循环和条件判断，这是传统脚本难以企及的灵活性。
3. 实现了真正的“零代码”业务测试：对于一个复杂的业务流程，测试人员仅需用自然语言描述需求，即可实现自动化的端到端测试，这是本研究的核心应用价值体现。

## 4.5 系统性能与稳定性测试

为确保系统的工程可用性，我们还进行了一系列的性能与稳定性摸底测试。

表4.4：系统核心性能指标

性能指标	实测值	备注
AI模型API响应时间	2.8 - 4.2秒	单次视觉或语言模型调用
内存使用峰值	约 487MB	运行完整测试套件时
CPU使用率	25% - 35%	单核使用率，非持续占用

在为期7天的连续运行测试中，系统执行了超过1000次的完整测试流程，**端到端成功率高达99.8%**，平均无故障运行次数超过500次，证明了系统具备高度的稳定性和可靠性。

## 4.6 实验局限性

尽管本研究取得了显著成果，但仍需客观分析其局限性，为未来的工作指明方向。

1. **网络依赖性**: 作为一个依赖云端AI模型的系统，其性能和稳定性与网络状况直接相关。在网络不佳的环境下，API响应延迟可能会增加，影响测试效率。
2. **API成本考量**: 商业化AI模型的调用会产生费用。在大规模、高并发的测试场景下，API成本是实际应用中需要考量的因素。
3. **极端验证码场景**: 虽然本系统能处理常见的复杂验证码，但对于结合了多种极端扭曲、动态行为和反AI逻辑的“对抗性”验证码，仍可能需要更先进的模型或特定策略。
4. **“黑盒”特性**: AI的决策过程对用户来说是一个“黑盒”，虽然结果正确，但其内部的判断逻辑有时难以解释，这为某些需要严格审计的测试场景带来了挑战。

## 4.7 本章小结

本章通过三个层次递进的严格实验，并辅以性能和稳定性测试，对所提出的系统进行了全面而深入的验证。

首先，在**核心能力维度**，实验一证明了系统能够100%精准识别并处理包括动态数学题和中文点选在内的两类行业公认的复杂验证码，为自动化流程扫清了关键障碍。

其次，在**应用效率维度**，实验二通过对比揭示，本系统能将测试用例的开发效率提升82.5%，极大地降低了技术门槛，使得非研发人员也能参与到自动化测试中。

接着，在**自主智能维度**，实验三更进一步，成功验证了系统仅凭自然语言指令便能自主理解、规划并执行一个端到端的复杂业务流程，展现了“意图驱动”的巨大潜力。

最后，在**工程质量维度**，系统展现了可接受的性能指标和高达99.8%的稳定性，证明了其作为可靠工具的实用价值。

这些强有力的数据和事实共同证明了本研究方案的可行性、先进性和巨大的应用价值，不仅成功达成了预定的研究目标，更揭示了基于大型语言模型的Web自动化技术未来的发展方向。